



UV/Vis (ultraljubičasta/vidljiva) spektrofotometrija

➤ Spektroskopija ili spektrofotometrija - studij interakcije materije i svjetla odnosno elektromagnetskog zračenja

➤ Područje elektromagnetskog zračenja

Radiation	Wavelength, λ (nm)	Frequency, ν (Hz)	Energy (kJ mol ⁻¹)
Cosmic rays	<10 ⁻³	>3 × 10 ²⁰	>1.2 × 10 ⁸
Gamma rays	10 ⁻¹ –10 ⁻³	3 × 10 ¹⁸ –3 × 10 ²⁰	1.2 × 10 ⁶ –1.2 × 10 ⁸
X-rays	10–10 ⁻¹	3 × 10 ¹⁶ –3 × 10 ¹⁸	1.2 × 10 ⁴ –1.2 × 10 ⁶
Far ultraviolet	200–10	1.5 × 10 ¹⁵ –3 × 10 ¹⁶	6 × 10 ² –1.2 × 10 ⁴
Ultraviolet	380–200	8 × 10 ¹⁴ –1.5 × 10 ¹⁵	3.2 × 10 ² –6 × 10 ²
Visible	780–380	4 × 10 ¹⁴ –8 × 10 ¹⁴	1.6 × 10 ² –3.2 × 10 ²
Infrared	3 × 10 ⁴ –780	10 ¹³ –4 × 10 ¹⁴	4–1.6 × 10 ²
Far infrared	3 × 10 ⁵ –3 × 10 ⁴	10 ¹² –10 ¹³	0.4–4
Microwaves	3 × 10 ⁷ –3 × 10 ⁵	10 ¹⁰ –10 ¹²	4 × 10 ⁻³ –0.4
Radio frequency	10 ¹¹ –3 × 10 ⁷	10 ⁶ –10 ¹⁰	4 × 10 ⁻⁷ –4 × 10 ⁻³

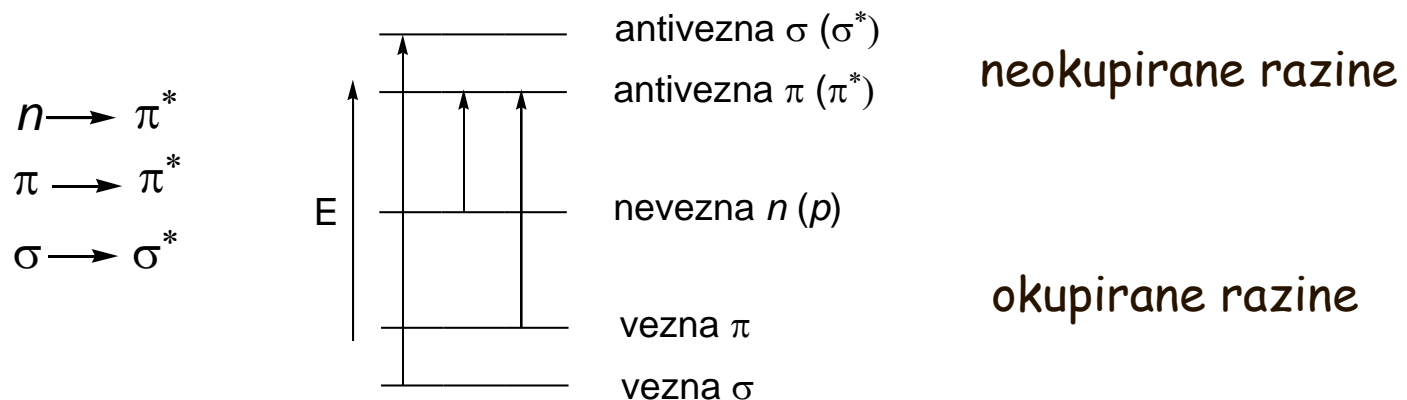
UV/VIS spektrofotometrija

- Govorimo o energijama koje pobuđuju molekulu iz osnovnog u pobuđeno stanje
- Obično je područje mjerena:
 - 200-380 nm UV
 - 380-780 nm VIS
- Prikaz UV spektra
 - Karakterizira se blagim krivuljama, za razliku od IR spektra
- Relativne energije MO (prema rastućim vrijednostima, dakle, prema manjoj stabilnosti): $\sigma < \pi < n < \pi^* < \sigma^*$
 - Prijelaz σ u σ^* je najteži, te se odnosi na niže valno područje

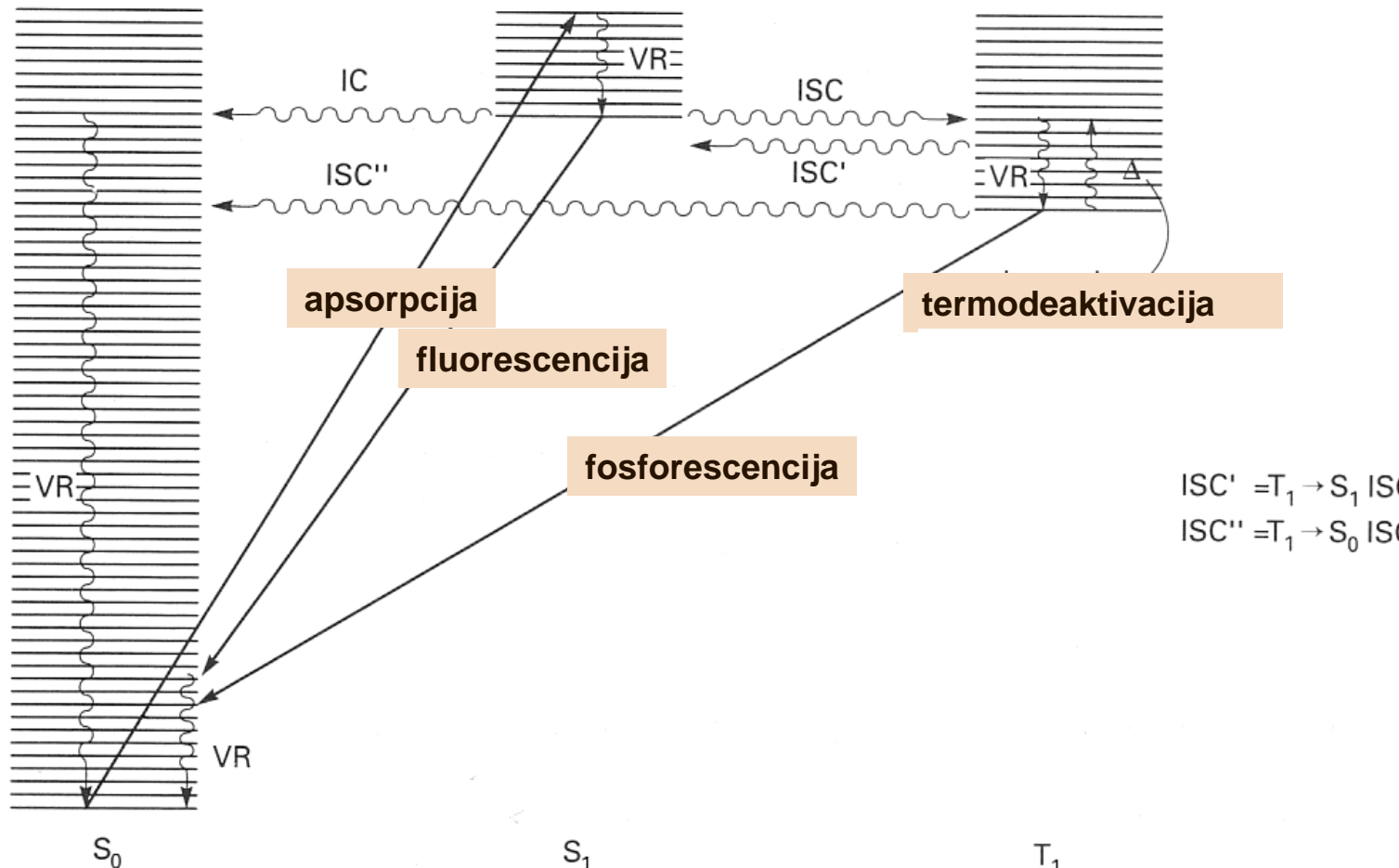
- Ukupna energija molekule je suma njene elektronske, vibracijske i rotacijske energije. Veličina ovih energija se smanjuje ovim redom:

$$E_{\text{elektr}} > E_{\text{vib}} > E_{\text{rot}}$$

- Apsorbirana energija u UV području uzrokuje promjene u **elektronskoj** energiji molekule, koje su rezultat prijelaza elektrona. Ovi se prijelazi odnose na pobuđenje elektrona iz veznih u antivezne orbitale.



✓ Dijagram Jablonskog



Jablonski dijagram

- Odnos apsorbirane energije u jednom elektronskom prijelazu i frekvencije (v), valne duljine (λ) i valnog broja (\tilde{v}) zračenja koje je proizvelo prijelaz je:

$$\Delta E = hv = hc / \lambda = h\tilde{v}c$$

- Apsorbirana energija ovisna je o razlici energija između osnovnog i pobuđenog stanja; što je razlika u energiji manja, to je valna duljina apsorpcije veća.
- Pobuđenje elektrona praćeno je promjenama u vibracijskim i rotacijskim kvantnim brojevima te apsorpcijske linije postaju široki pikovi koji sadrže vibracijsku i rotacijsku finu strukturu a u interakciji s molekulama otapala vide se glatki maksimumi.

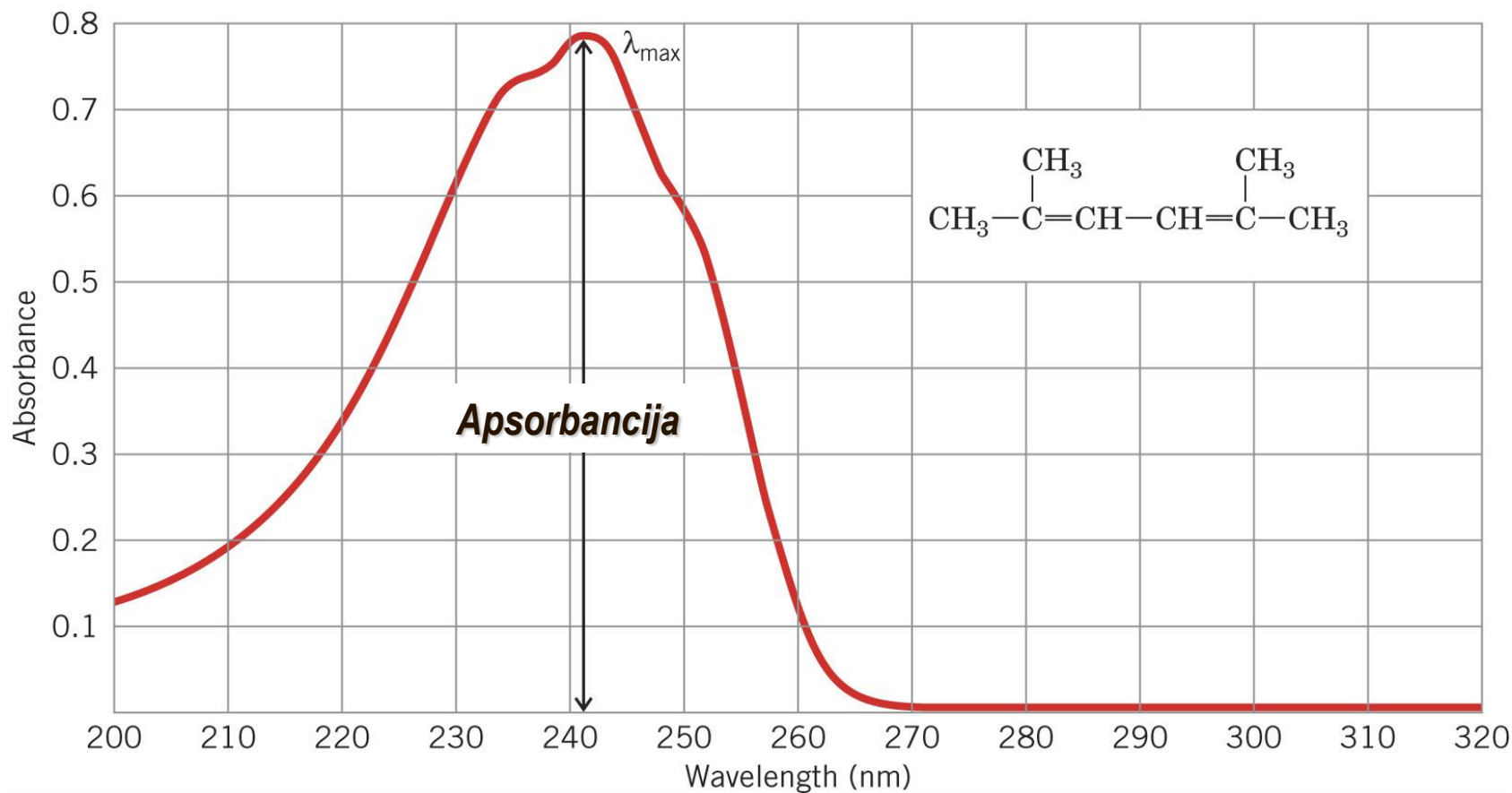
Lambert-Beerovo pravilo:

- Valna duljina maksimalne apsorpcije (λ_{\max}) prikazuje se u nanometrima kao jedinicama (nm)
- Molarni apsorpcijski koeficijent (ε) također se prikazuje za pojedinu vrpcu UV spektra
 - $\underline{\varepsilon}$ predstavlja intenzitet apsorpcije
 - \underline{A} je apsorbancija, \underline{C} molarma koncentracija uzorka, a \underline{l} duljina ćelije s uzorkom (u centimetrima)

$$A = \varepsilon \times C \times l \quad \text{ili} \quad \varepsilon = \frac{A}{C \times l}$$

- Primjer: UV apsorpcijski spektar 2,5-dimetil-2,4-heksadiena u metanolu pri koncentraciji $5,95 \times 10^{-5}$ M u ćeliji od 1,0 cm duljine

✓ UV spektar 2,5-dimetil-2,4-heksadiena



$\lambda_{\text{max}}^{\text{methanol}}$ 242.5 nm ($\epsilon = 13,100$)

Lambert-Beerovo pravilo:

- što je veći broj molekula koje su u mogućnosti apsorbirati svjetlo određene valne duljine, apsorpcija raste
- što učinkovitije molekula apsorbira svjetlo određene valne duljine, povećava se apsorpcija
- Iz ovoga slijedi Lambert-Beerovo pravilo pri čemu je:

I duljina puta (cm)

c koncentracija (mol/litra)

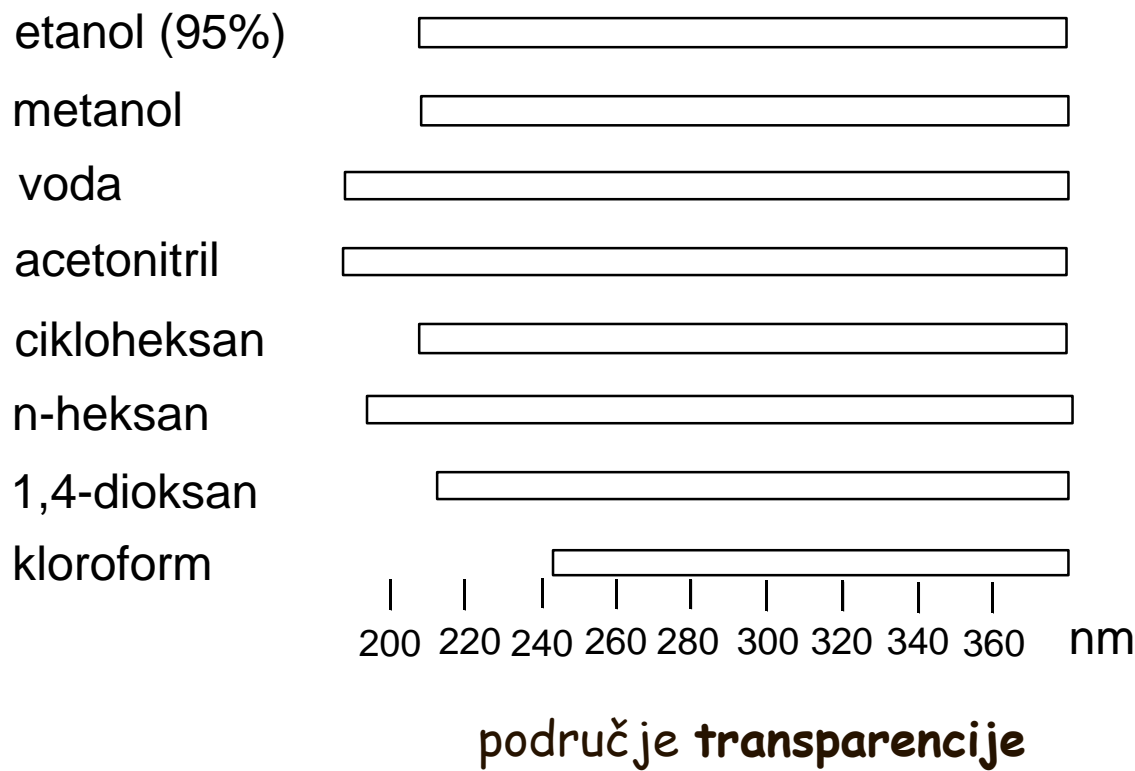
A apsorbancija ili optička gustoća (stari naziv)

ϵ molarni apsorpcijski koeficijent (molarna apsorptivnost) ili molarni koeficijent ekstinkcije (stari naziv) - svojstvo molekule koja apsorbira

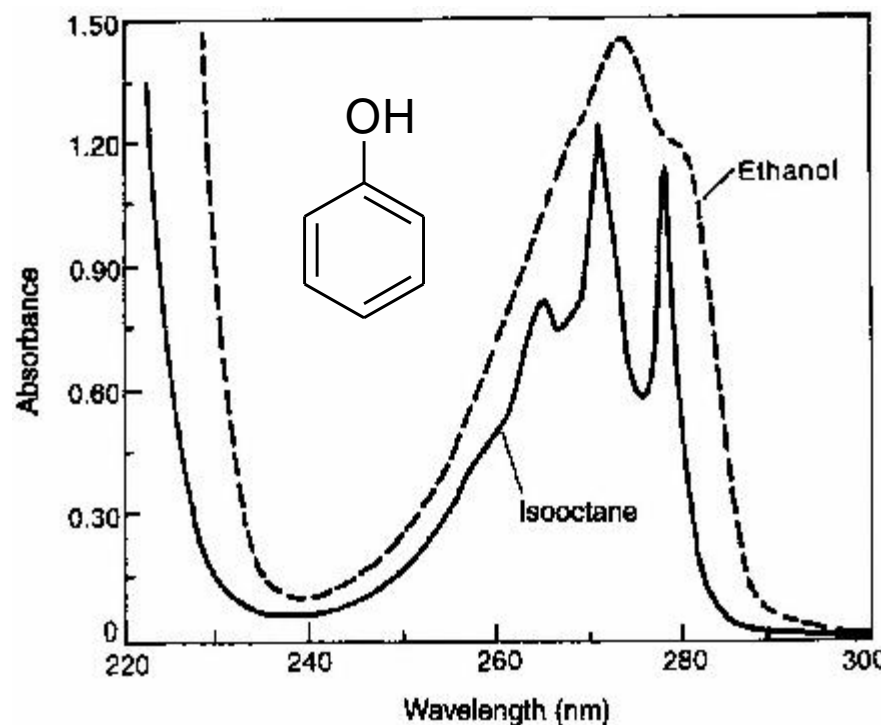
Apsorptivnost - ovisi o veličini apsorbirajućeg sustava i vjerojatnosti elektronskog prijelaza i varira od 0 do 10^6
vrijednosti iznad 10^4 - apsorpcije visokog intenziteta
vrijednosti ispod 10^3 - apsorpcije niskog intenziteta
vrijednosti između 0 i 1000 - zabranjeni prijelazi

Izbor otapala:

- ✓ otapalo ne bi trebalo apsorbirati UV u istom području kao i supstancija čiji se spektar snima



- ✓ utjecaj otapala na finu strukturu apsorpcijske vrpce (polarna i nepolarna otapala) - npr. nepolarno otapalo ne stvara vodikove veze s otopljenom tvari i spektar podsjeća na spektar snimljen u plinskoj fazi, vidi se fina struktura; u polarnom otapalu fina struktura nestaje stvaranjem kompleksa (vodikovim vezama) između otapala i otopljene tvari



- ✓ UV spektri fenola u izooctanu i etanolu

**utjecaj otapala na valnu duljinu apsorpcije -
na osnovu stabilizacije osnovnog ili pobuđenog stanja**

$n \rightarrow \pi^*$ prijelazi acetona
u raznim otapalima:

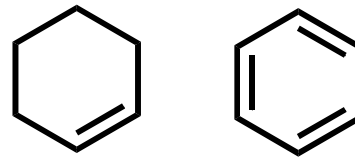
<u>otapalo</u>	<u>λ_{\max}(nm)</u>
H ₂ O	264,5
CH ₃ OH	270
C ₂ H ₅ OH	272
CHCl ₃	277
C ₆ H ₁₄	279

- Polarna otapala koja tvore jače vodikove veze s polarnim molekulama u osnovnom stanju (nego u pobuđenom stanju) povisuju energiju elektronskih prijelaza. Polarna otapala pomiču $n \rightarrow \pi^*$ prijelaze prema kraćim valnim duljinama.
- U nekim slučajevima pobuđena stanja tvore jače vodikove veze nego odgovarajuća osnovna stanja te u tom slučaju polarna otapala pomiču apsorpciju prema duljim valnim duljinama jer se energija prijelaza smanjila.
Polarna otapala pomiču prijelaze $\pi \rightarrow \pi^*$ tipa prema duljim valnim duljinama.

✓ Apsorpcije jednostavnih nekonjugiranih kromofora

kromofor	oznaka prijelaza	λ_{\max} (nm)
σ -vezani elektroni		
$\begin{array}{c} \diagup \\ \diagdown \end{array} \text{C}-\text{C} \begin{array}{c} \diagup \\ \diagdown \end{array}$ i $\begin{array}{c} \diagup \\ \diagdown \end{array} \text{C}-\text{H}$	$\sigma \rightarrow \sigma^*$	~ 150
slobodni elektronski parovi		
$\begin{array}{c} \ddot{\text{O}} \\ \\ -\text{C}- \end{array}$	$n \rightarrow \sigma^*$	~ 185
$\begin{array}{c} \ddot{\text{N}} \\ \\ -\text{N}- \end{array}$	$n \rightarrow \sigma^*$	~ 195
$\begin{array}{c} \ddot{\text{S}} \\ \\ -\text{S}- \end{array}$	$n \rightarrow \sigma^*$	~ 195
$\begin{array}{c} \text{O} \\ \\ \text{C} \end{array}$	$n \rightarrow \sigma^*$	~ 190
$\begin{array}{c} \text{O} \\ \\ \text{C} \end{array}$	$n \rightarrow \pi^*$	~ 300
π -vezani elektroni		
$\begin{array}{c} \diagup \\ \diagdown \end{array} \text{C}=\text{C} \begin{array}{c} \diagup \\ \diagdown \end{array}$ (izolirana dvostruka veza)	$\pi \rightarrow \pi^*$	~ 190

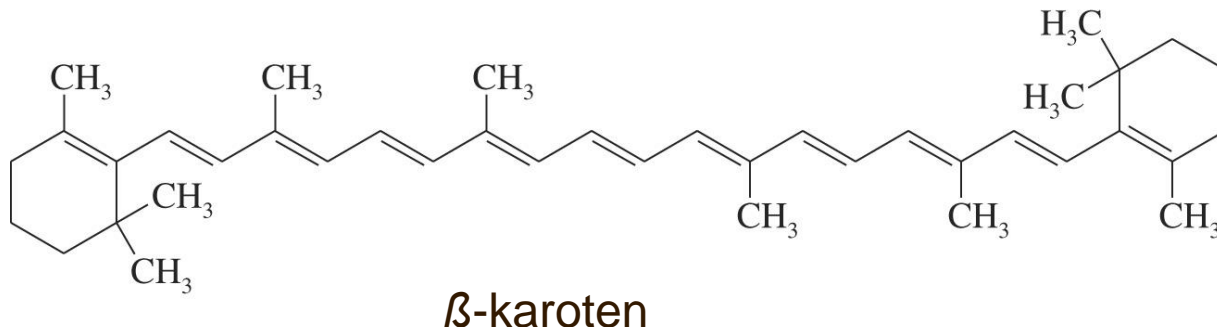
- Najčešće korišteno otapalo je etanol (96%)
 - Od nepolarnih otapala: cikloheksan
 - Izbor otapala ovisi o topivosti spojeva, uzorka
 - Uz UV spektar se uvijek mora navesti i otapalo
-
- KONJUGACIJOM se valne duljine u spektru pomiču ka većim vrijednostima
 - KROMOFOR - bilo koja skupina koja je uzrok apsorpcijske vrpce



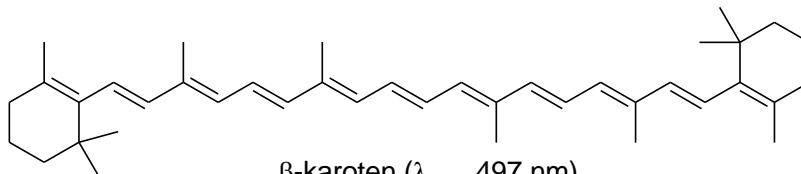
Kompletni sustav
čini kromofor

- AUKSOKROM - skupina koja uz već postojeći, daje novi kromofor (pomiče se apsorpcija u veće valno područje)

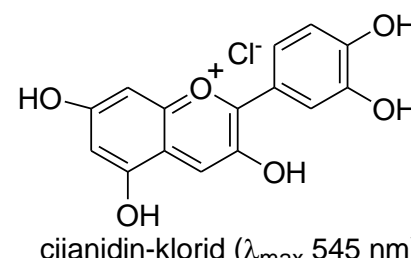
- **BATOKROMNI POMAK** - uslijed supstitucije ili zbog otapala dolazi do većih apsorpcijskih maksimuma (red shift)
- **HIPSOKROMNI POMAK** - supstitucija auksokroma ili zbog otapala (pomak ka manjim valnim duljinama) (blue shift)
- **Hiperkromni efekt** - povećanje intenziteta apsorpcije
- **Hipokromni efekt** - smanjenje intenziteta apsorpcije
 - Što je konjugirani sustav dulji, manja je razlika u energiji između HOMO i LUMO orbitale
 - Manja razlika u energiji rezultira većom vrijednošću za λ_{\max}
 - β -Karoten ima 11 konjugiranih dvostrukih veza i maksimum apsorbancije pri 497 nm što predstavlja plavo-zeleno područje vidljivog spektra, a sam spoj posjeduje komplementarnu crveno-narančastu boju



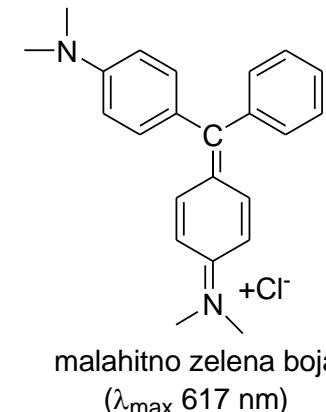
□ SPEKTRI u vidljivom području



narančasti



plavi



zeleni

□ Odnos između **boje apsorbiranog svjetla** i **boje spoja** koju vidimo:

✓ **boja i valna duljina apsorbiranog svjetla**

ljubičasta	(400 nm)	→	žuta
plava	(450 nm)	→	narančasta
plavo-zelena	(500 nm)	→	crvena
zeleno-žuta	(530 nm)	→	crveno-ljubičasta
žuta	(550 nm)	→	ljubičasta
narančasto-crvena	(600 nm)	→	plavo-zelena
crvena	(700 nm)	→	zelena

✓ **boja koja se vidi**

□ Kod svih spojeva, osim alkana, može doći do nekoliko elektronskih prijelaza različitih energija:

$\sigma \rightarrow \sigma^*$: u alkanima

$\sigma \rightarrow \pi^*$: u karbonilnim spojevima

$\pi \rightarrow \pi^*$: u alkenima, karbonilnim spojevima, alkinima, azo-spojevima itd.
npr. alkeni: 175 nm

alkini: ~170 nm;

karbonilni : ~188 nm ($\epsilon = 900$)

$n \rightarrow \sigma^*$: u kisikovim, dušikovim, sumpornim i halogenim spojevima

npr. alkoholi i amini: 175 – 200 nm

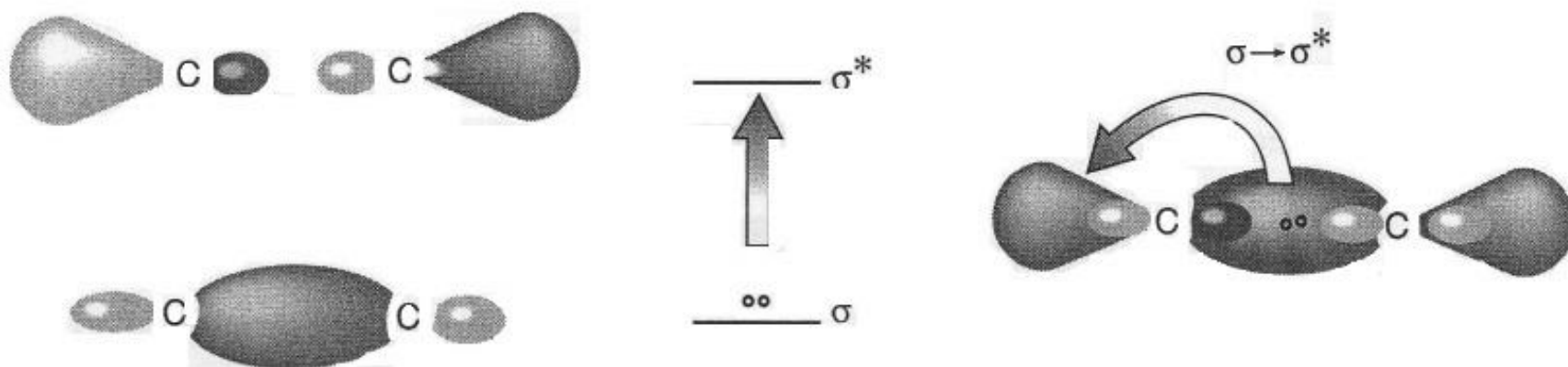
tioli i sulfidi: 200 – 220 nm

$n \rightarrow \pi^*$: u karbonilnim spojevima

$n \rightarrow \pi^*$ prijelazi 280–290 nm ($\epsilon = 15$)

■ ALKANI

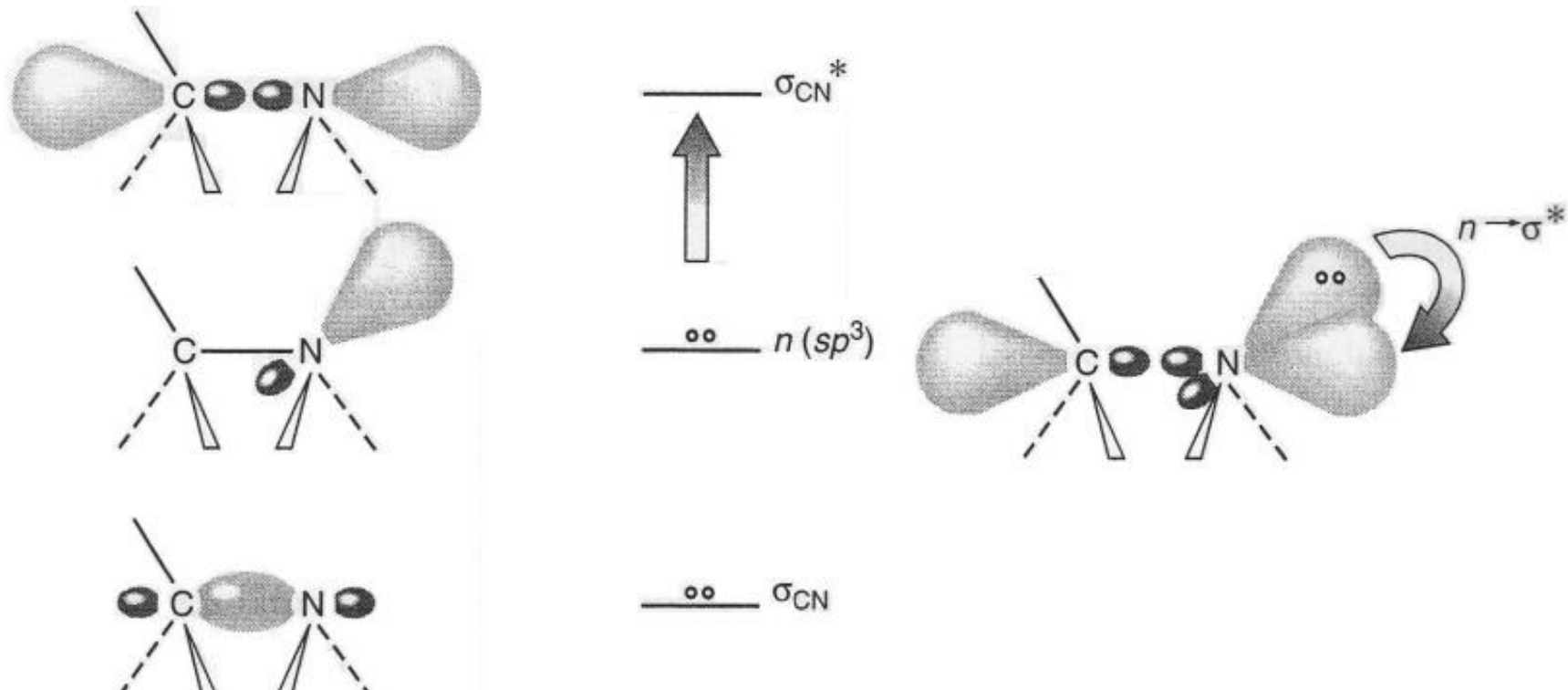
- sadrže samo jednostruke veze i ne posjeduju nesparene elektrone; ovi prijelazi su visoko energijski i apsorbiraju u vrlo kratkom valnom području (izvan područja uobičajenih spektrofotometara).



ilustracija $\sigma \rightarrow \sigma^*$ prijelaza

■ ALKOHOLI, ETERI, AMINI I SUMPORNI SPOJEVI

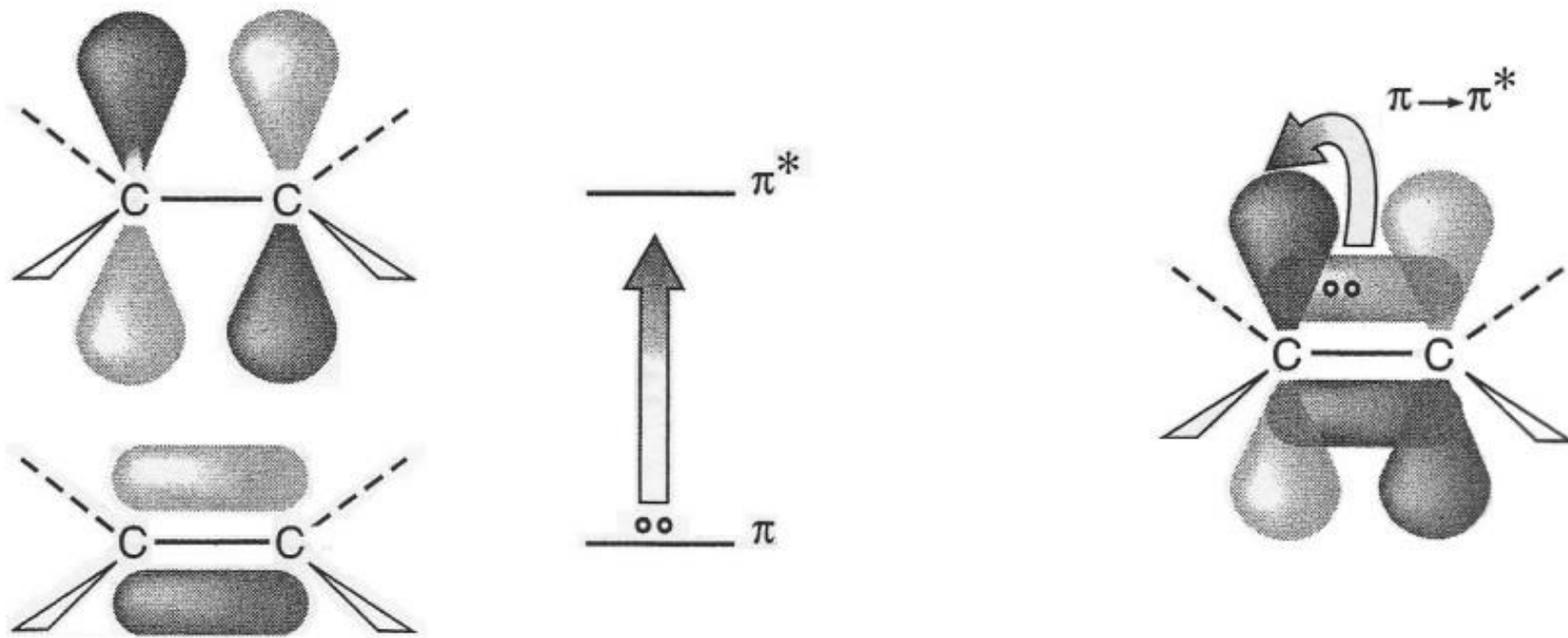
- zasićene molekule koje imaju nevezne elektronske parove, $n \rightarrow \sigma^*$ prijelazi su također visoko energijski prijelazi ali apsorbiraju zračenje unutar mjernog područja



ilustracija $n \rightarrow \sigma^*$ prijelaza u aminima

■ ALKENI I ALKINI

- nezasićene molekule, $\pi \rightarrow \pi^*$ prijelazi su mogući i također su visoko energijski prijelazi ali je njihov položaj apsorpcije ovisan o supstituentu



ilustracija $\pi \rightarrow \pi^*$ prijelaza kod alkena

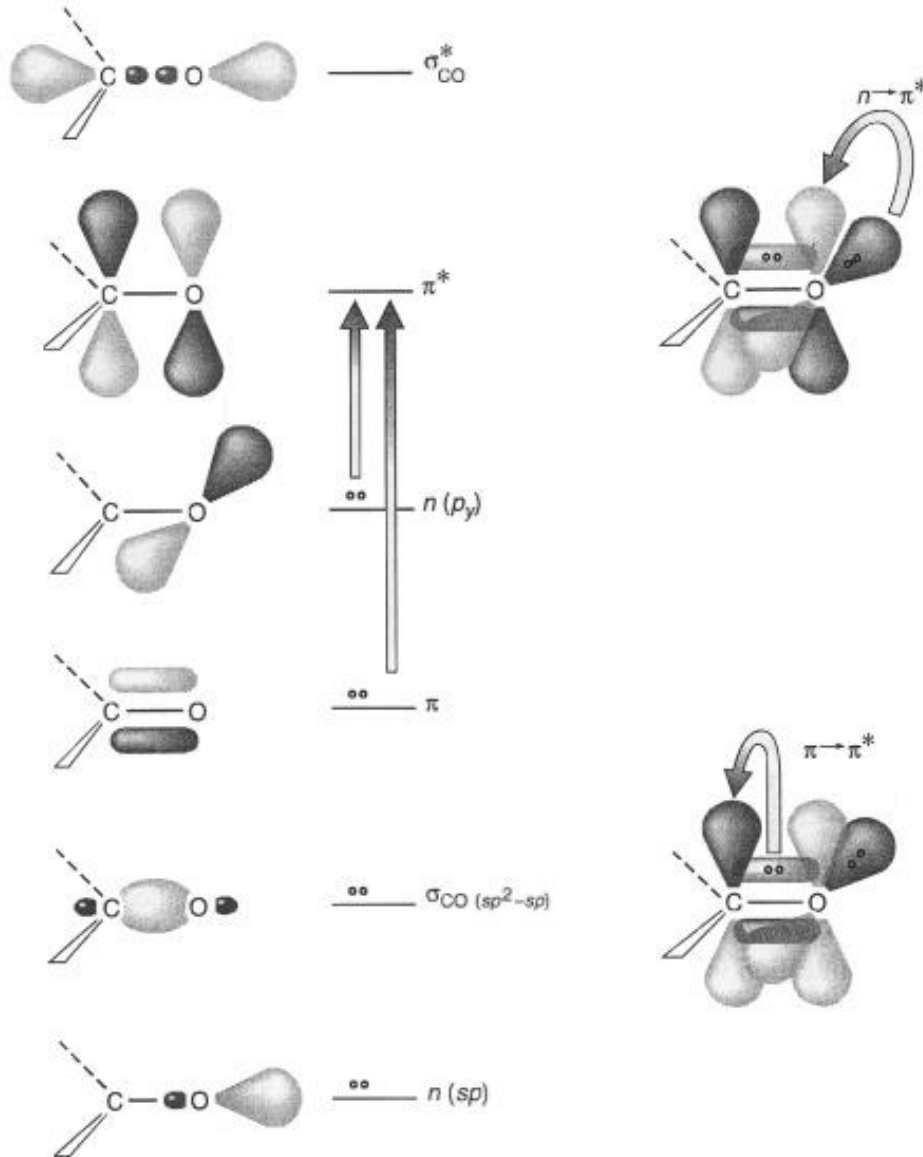
KARBONILNI SPOJEVI

- nezasićeni spojevi koji imaju kao atome kisik ili dušik mogu imati i $n \rightarrow \pi^*$ prijelaze; to su najviše studirani prijelazi, osjetljivi su na supstituente;

tipični karbonilni spoj:

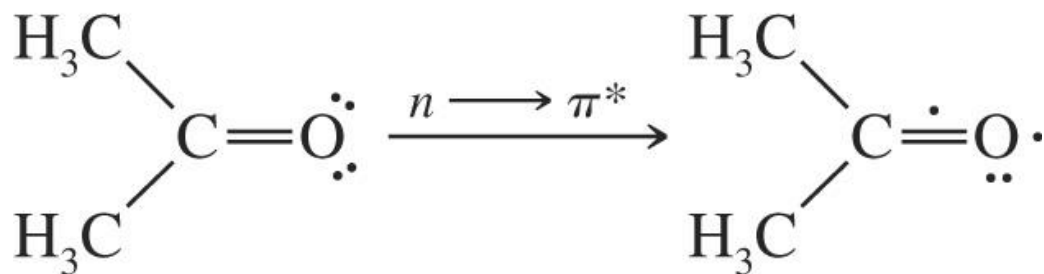
$n \rightarrow \pi^*$ prijelazi 280–290 nm ($\varepsilon=15$)
 $\pi \rightarrow \pi^*$ prijelazi ~ 188 nm ($\varepsilon=900$)

- Nasuprot onome što bi se moglo očekivati od jednostavne teorije, kisikov atom karbonilne skupine **nije sp^2 hibridiziran**. Spektroskopičari su pokazali da iako je ugljikov atom sp^2 hibridiziran, hibridizacija kisikovog atoma se više približava **sp hibridizaciji**

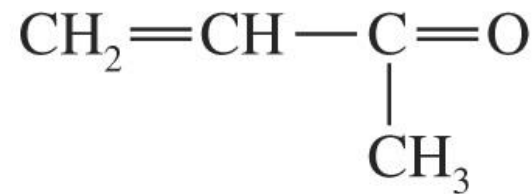


- Elektronski prijelazi u karbonilu

■ Karbonilni spojevi apsorbiraju u UV području



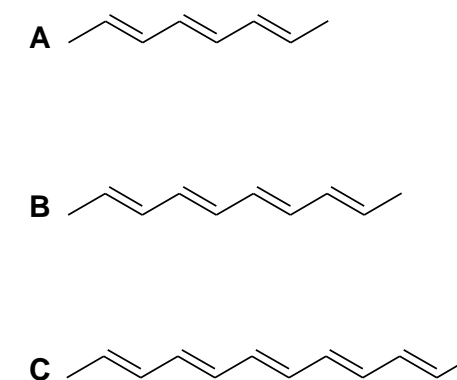
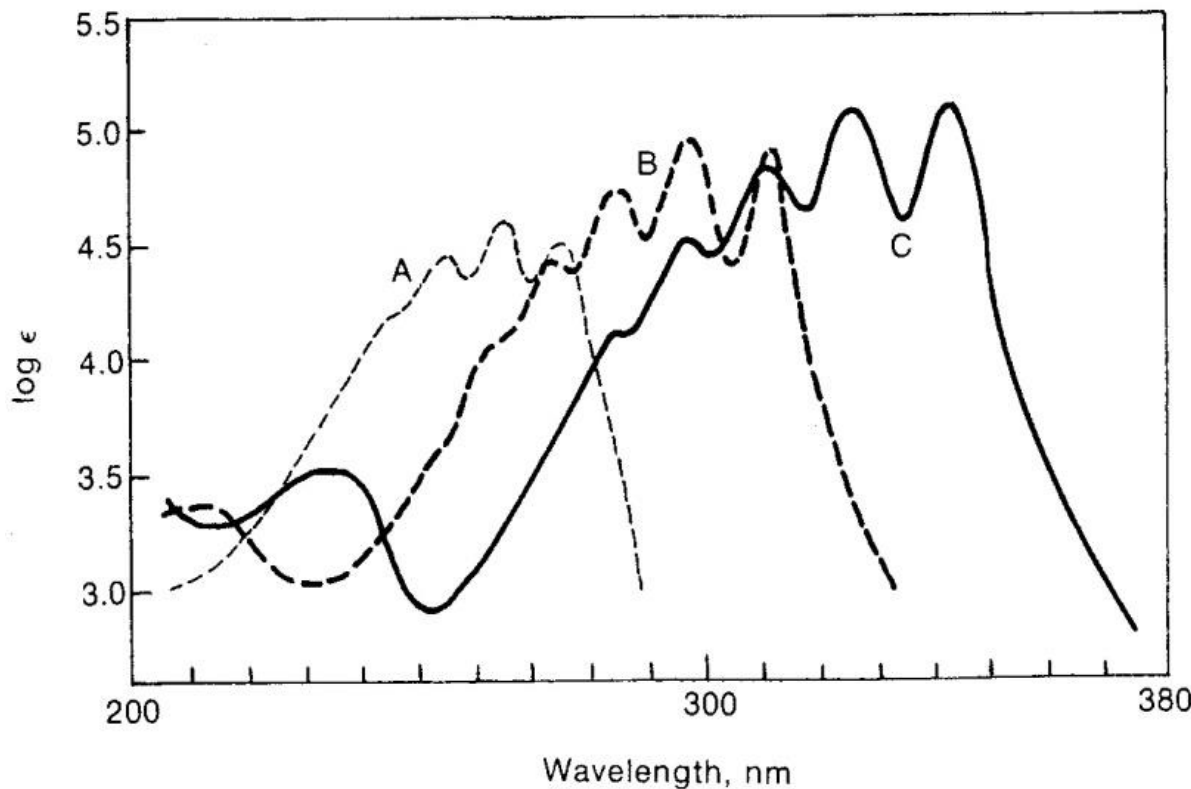
$$\lambda_{\max} = 280 \text{ nm}$$
$$\epsilon_{\max} = 15$$



$$n \longrightarrow \pi^* \quad \lambda_{\max} = 324 \text{ nm}, \epsilon_{\max} = 24$$
$$\pi \longrightarrow \pi^* \quad \lambda_{\max} = 219 \text{ nm}, \epsilon_{\max} = 3600$$

■ Posljedica konjugacije

- konjugacija dvaju kromofora uzrokuje batokromni pomak i povećanje intenziteta apsorpcije



$\text{CH}_3-(\text{CH}=\text{CH})_n-\text{CH}_3$
UV-spektri dimetil-poliena:
A) $n = 3$; B) $n = 4$; C) $n = 5$.

■ Posljedica konjugacije

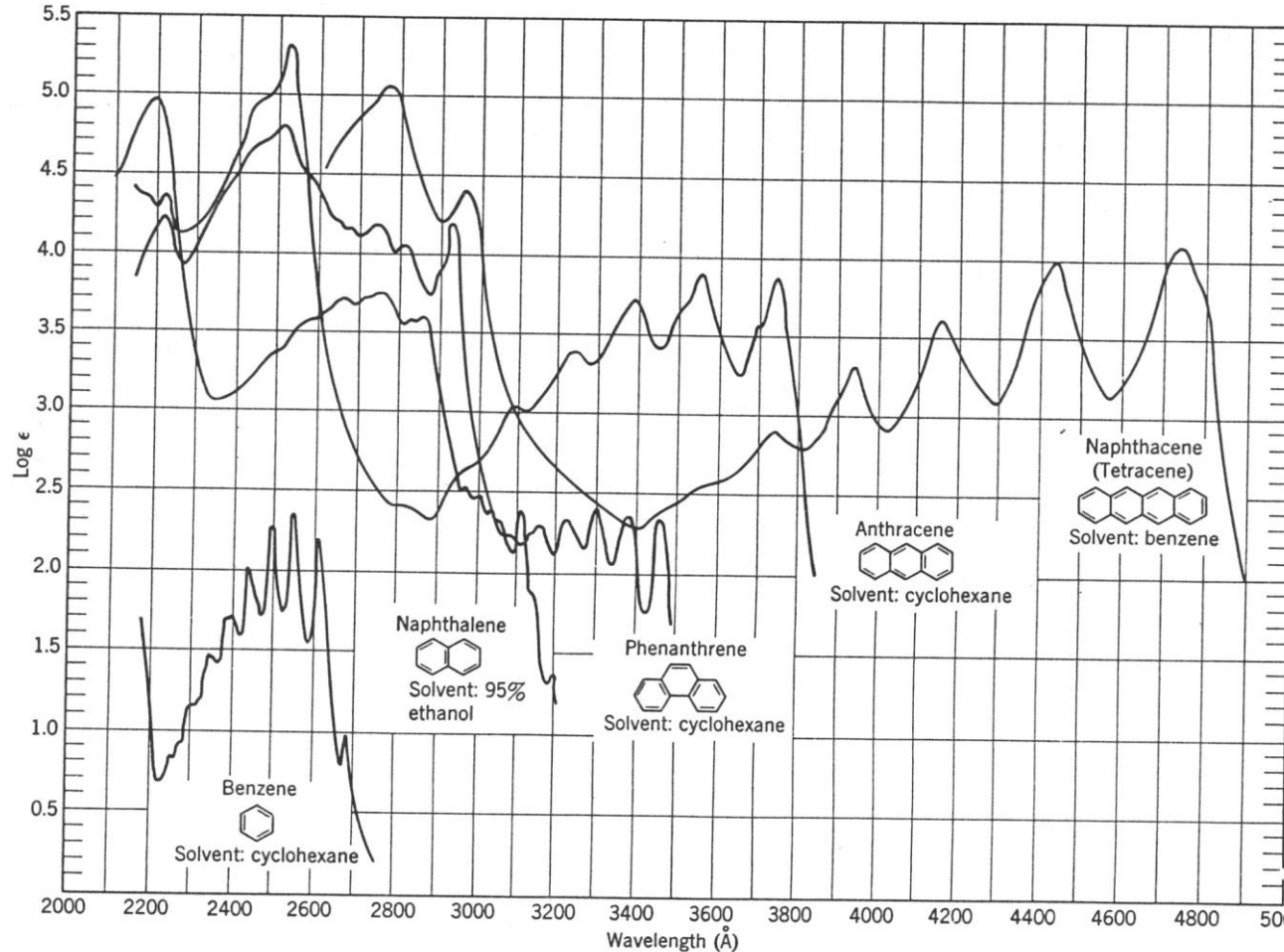


FIGURE 7.7. Electronic absorption spectra of benzene, naphthalene, phenanthrene, anthracene, and naphthacene.

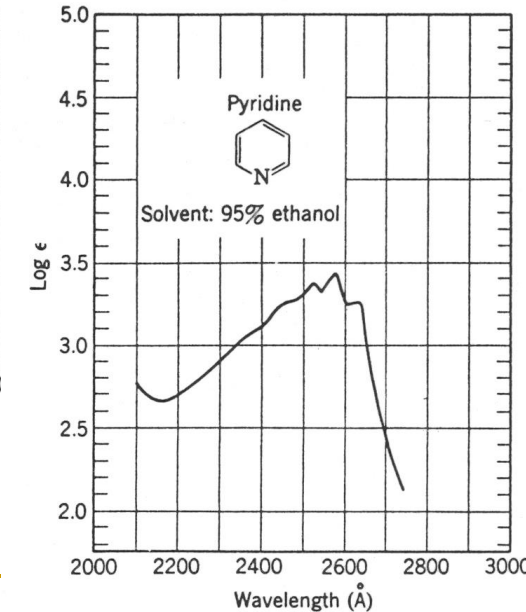
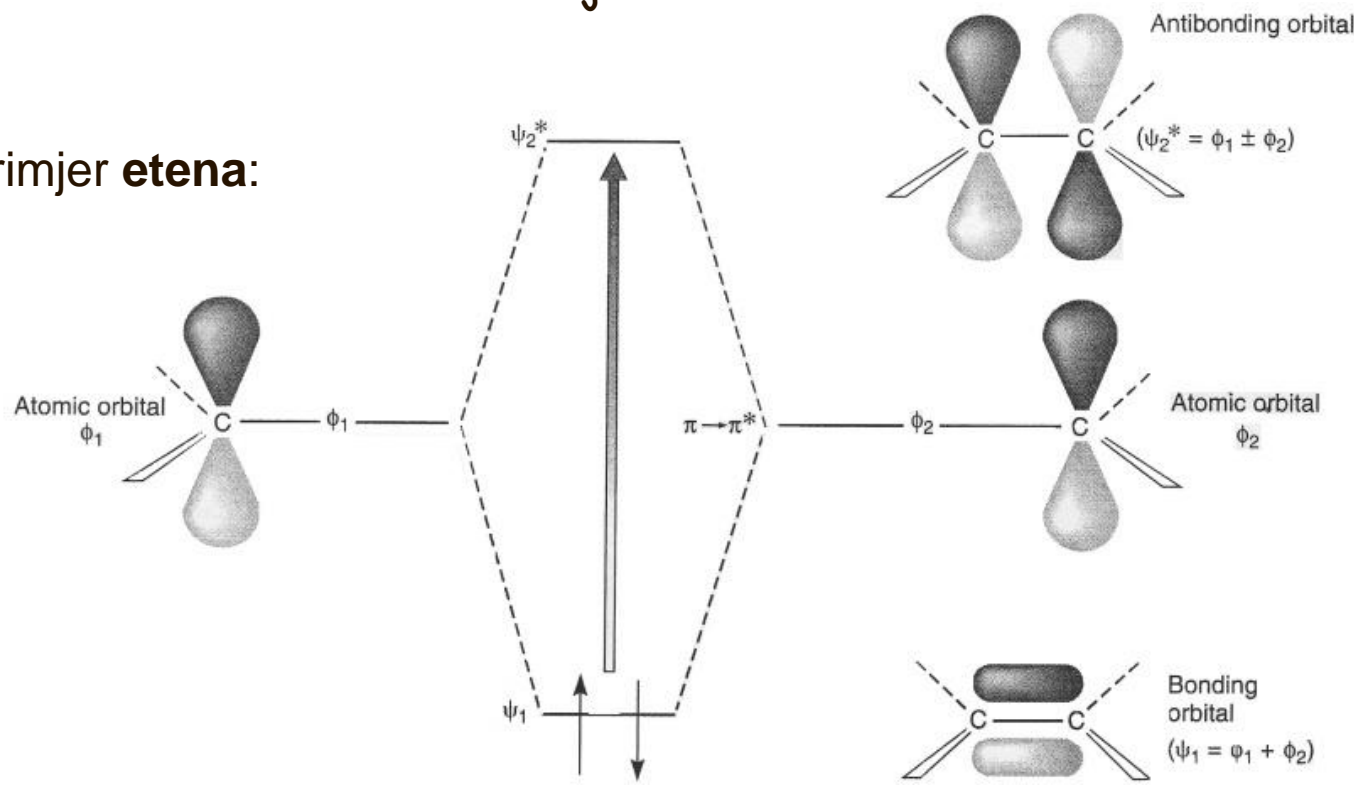


FIGURE 7.8. Ultraviolet spectrum of pyridine.

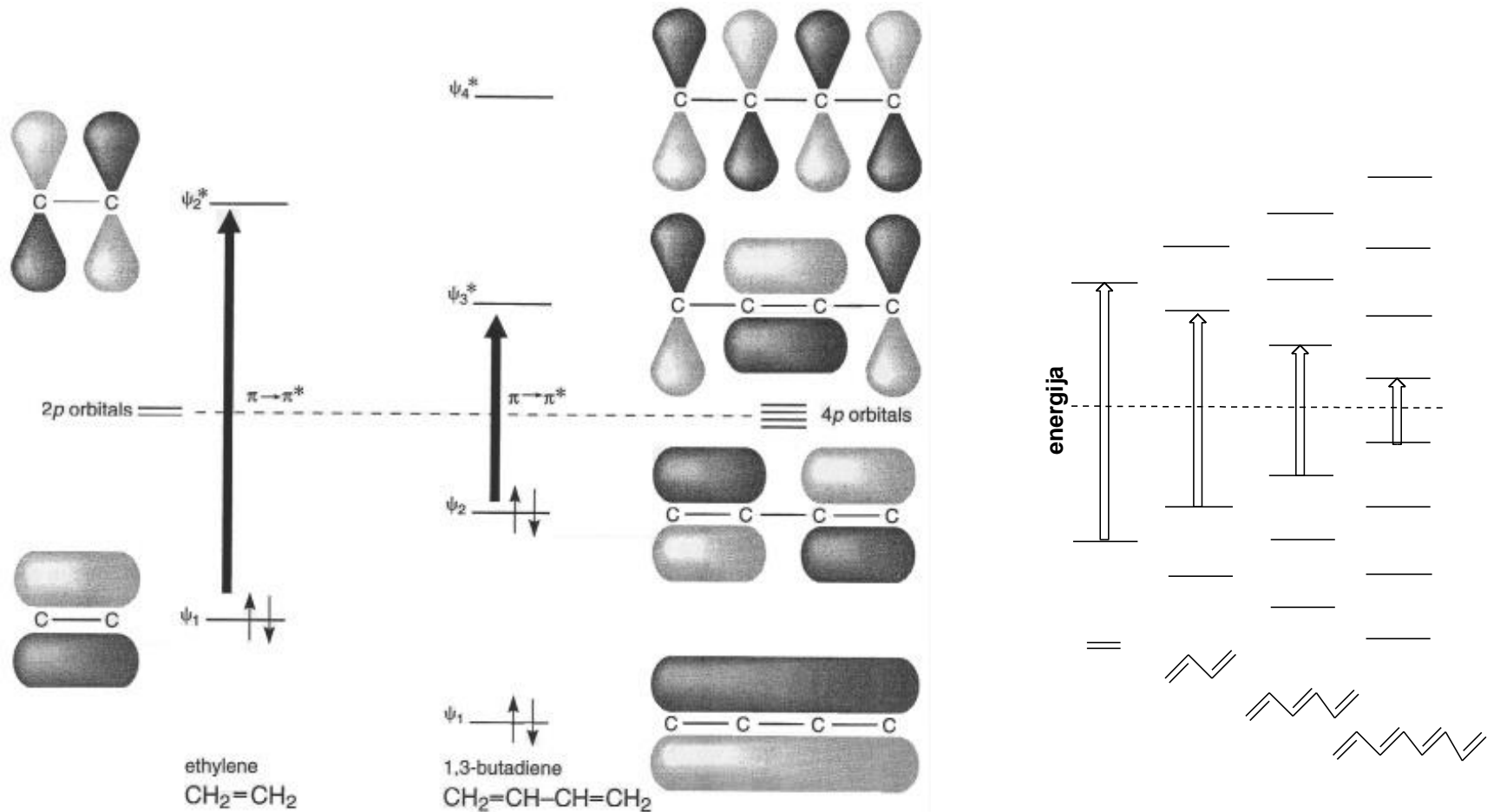
- batokromni pomak, uslijed produljenja konjugacije, ukazuje na smanjenje energije potrebne za elektronsku pobudu; to se može objasniti molekularno-orbitalnom teorijom

□ Primjer etena:



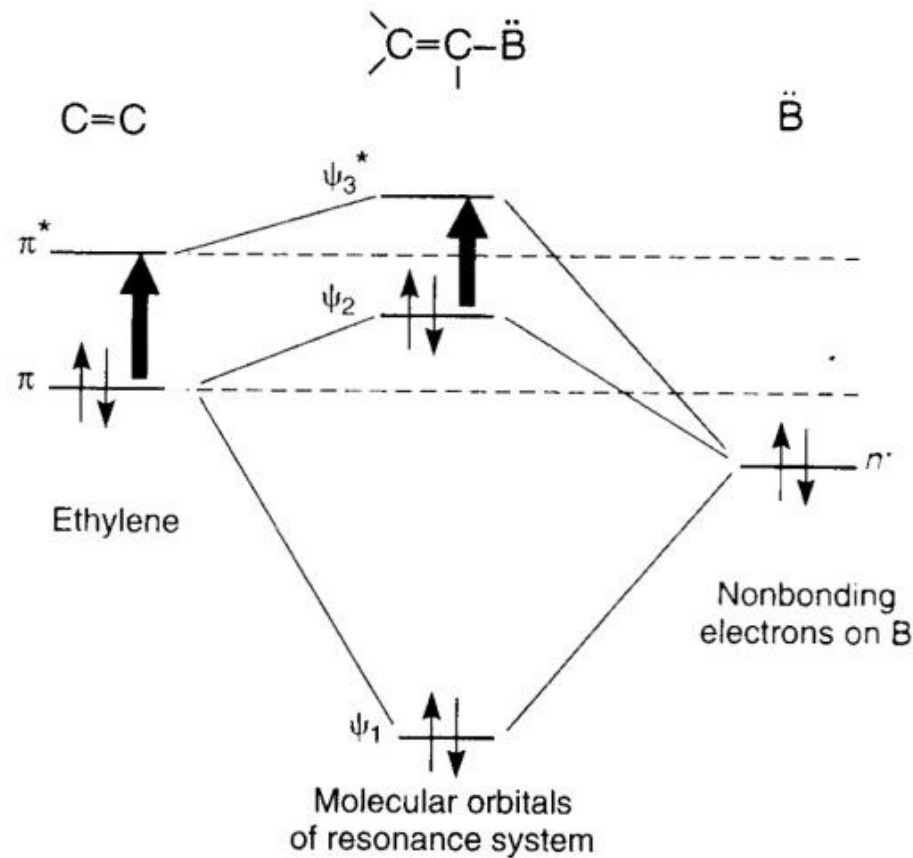
- Stvaranje molekularnih orbitala etena linearnom kombinacijom atomskih orbitala (u svakoj atomskoj orbitali imamo po jedan elektron te novi π sustav ima dva elektrona koji prvo popunjavaju orbitale niže energije).

■ butadien: povećanjem broja p orbitala, koje grade konjugirani sustav, za HOMO - LUMO prijelaze potrebna je progresivno niža energija



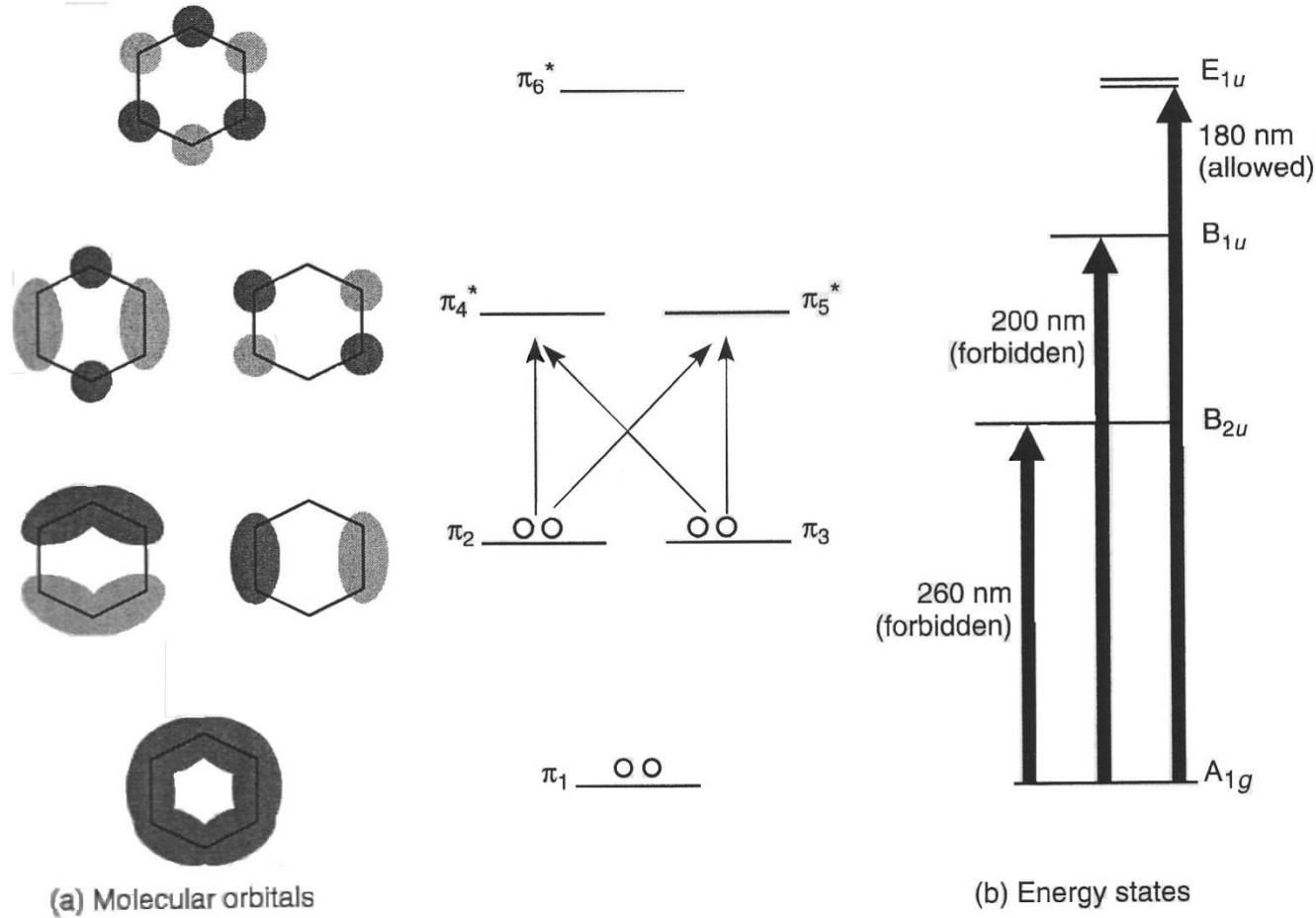
□ Usporedba energetskih razina molekularnih orbitala i energija $\pi - \pi^*$ prijelaza u etenu i 1,3-butadienu

- batokromni pomak zbog supstituenta (sa slobodnim elektronskim parom) vezanog na dvostruku vezu, uslijed rezonancije; slobodni elektroni postaju dio π sustava molekulskih orbitala



- odnosi energija novih molekulskih orbitala i π sustava koji je u interakciji sa svojim auksokromom

Molekulske orbitale i energijska stanja benzena

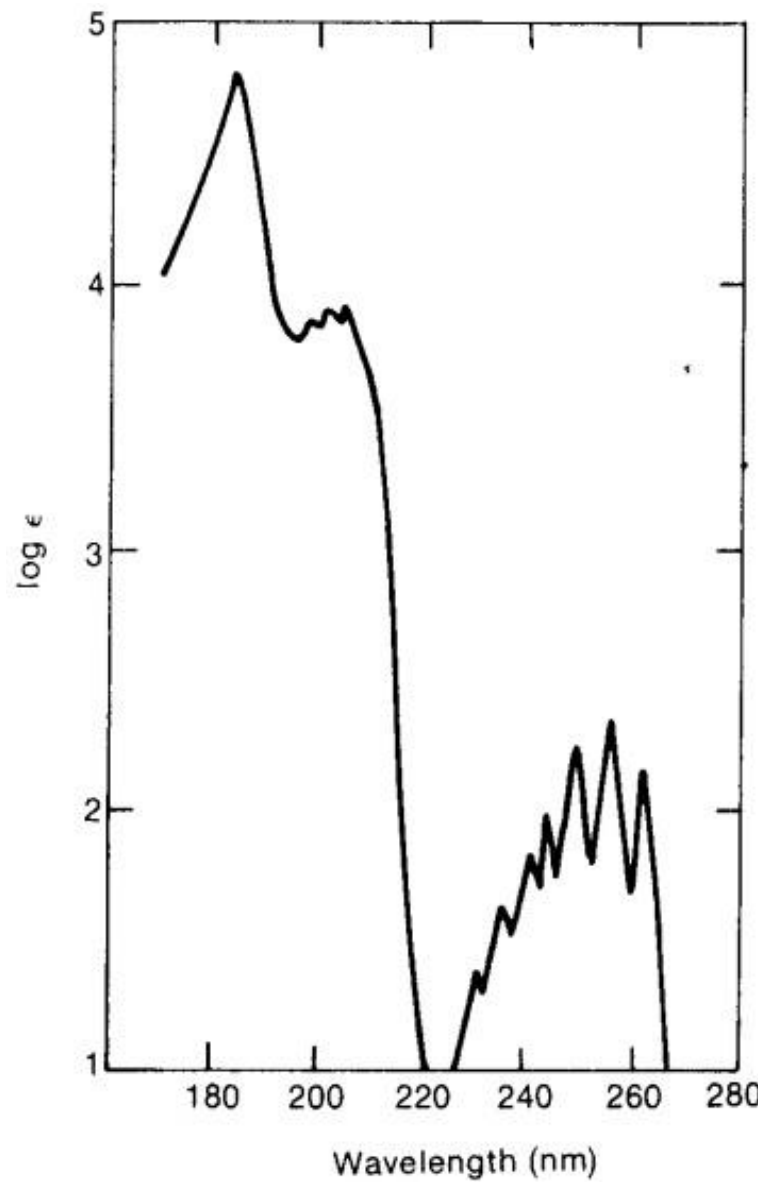


(a) Molecular orbitals

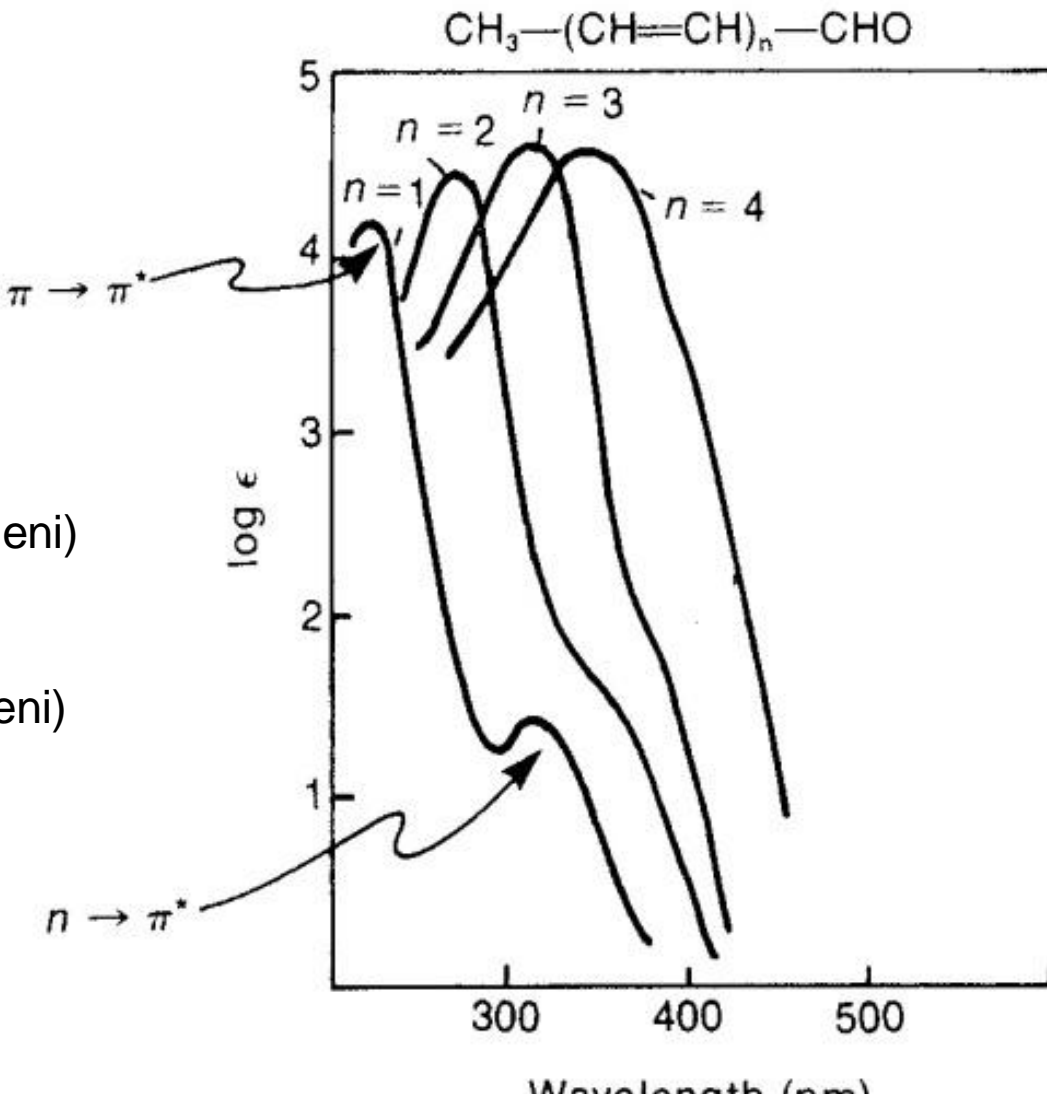
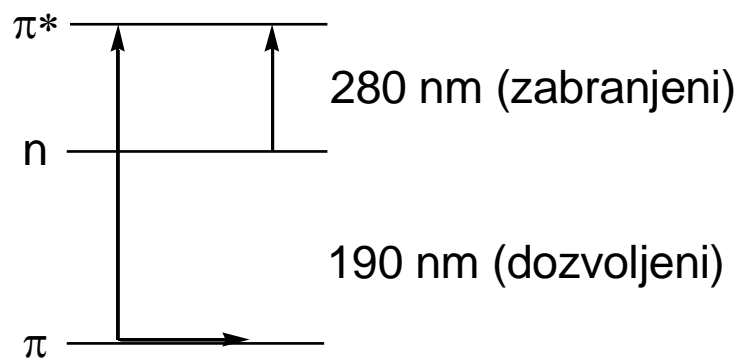
(b) Energy states

- ✓ elektronski prijelazi su u osnovi $\pi \rightarrow \pi^*$ prijelazi; mogli bi na temelju jednostavnih objašnjenja elektronskih prijelaza u benzenu zaključiti da imamo četiri moguća prijelaza istih energija i da se UV spektar sastoji od jednog apsorpcijskog pika - međutim, zbog elektron-elektron repulzije i simetrijskih razmatranja, stvarna energijska stanja benzena su modificirana i ne baš jednostavna

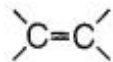
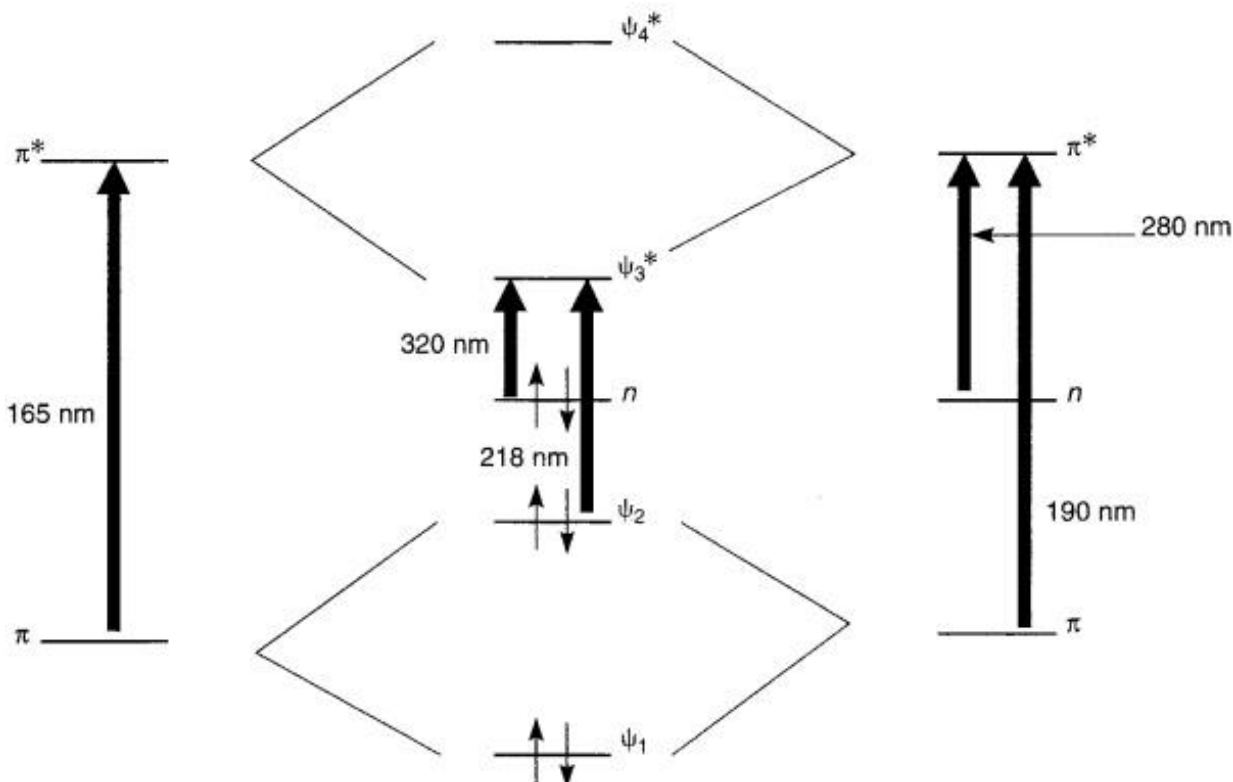
✓ UV spektar benzena



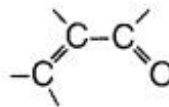
■ Karbonilni spojevi ENONI



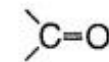
✓ Spektri nekoliko polien-aldehida



Alkene



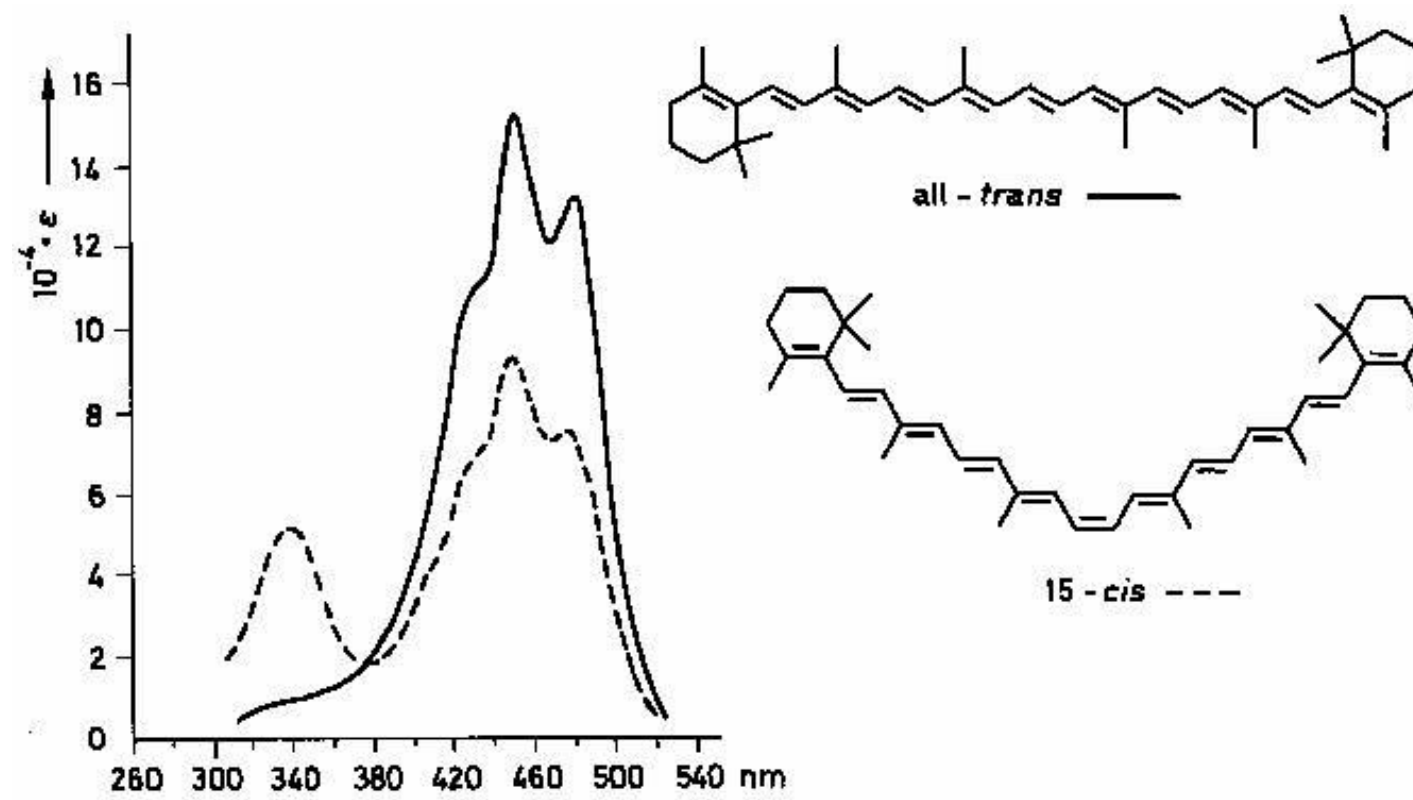
Enone



Carbonyl

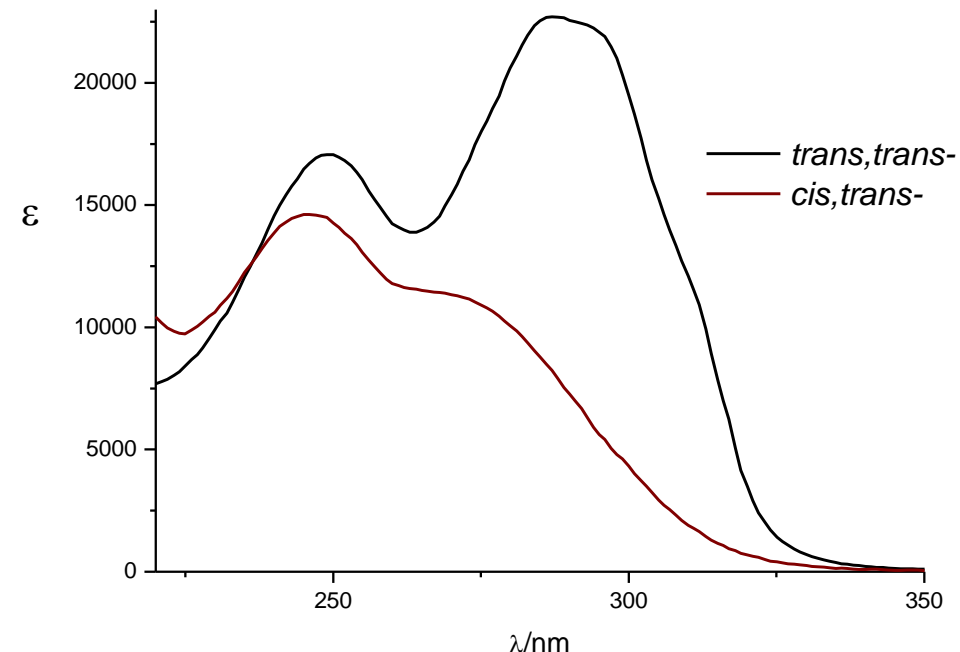
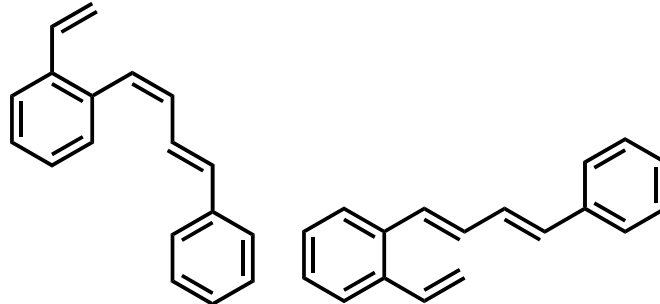
- Orbitale enonskog sustava u usporedbi s orbitalama sustava (alkeni i karbonil), koji nisu u interakciji

Konjugirani polieni



- razlika u apsorpcijskim spektrima β -karotena zbog ***trans*- ili *cis*-konfiguracije**

- Razlika u valnoj duljini apsorbancije zbog *trans*- ili *cis*-konfiguracije



- Valne duljine na kojima se nalazi maksimum:
 $\lambda(\text{trans,trans}) = 287 \text{ nm}$
 $\lambda(\text{cis,trans}) = 246 \text{ nm}$

TABLE 7.1

Summary of Electronic Transitions

Example	Electronic Transition	λ_{\max} (nm)	ϵ_{\max}	Band ^a
Ethane	$\sigma \rightarrow \sigma^*$	135		
Water	$n \rightarrow \sigma^*$	167	7,000	
Methanol	$n \rightarrow \sigma^*$	183	500	
1-Hexanethiol	$n \rightarrow \sigma^*$	224	126	
<i>n</i> -Butyl iodide	$n \rightarrow \sigma^*$	257	486	
Ethylene	$\pi \rightarrow \pi^*$	165	10,000	
Acetylene	$\pi \rightarrow \pi^*$	173	6,000	
Acetone	$\pi \rightarrow \pi^*$	~150		
	$n \rightarrow \sigma^*$	188	1,860	
	$n \rightarrow \pi^*$	279	15	<i>R</i>
1,3-Butadiene	$\pi \rightarrow \pi^*$	217	21,000	<i>K</i>
1,3,5-Hexatriene	$\pi \rightarrow \pi^*$	258	35,000	<i>K</i>
Acrolein	$\pi \rightarrow \pi^*$	210	11,500	<i>K</i>
	$n \rightarrow \pi^*$	315	14	<i>R</i>
Benzene	Aromatic $\pi \rightarrow \pi^*$	~180	60,000	E_1
	Aromatic $\pi \rightarrow \pi^*$	~200	8,000	E_2
	Aromatic $\pi \rightarrow \pi^*$	255	215	<i>B</i>
Styrene	Aromatic $\pi \rightarrow \pi^*$	244	12,000	<i>K</i>
	Aromatic $\pi \rightarrow \pi^*$	282	450	<i>B</i>
Toluene	Aromatic $\pi \rightarrow \pi^*$	208	2,460	E_2
	Aromatic $\pi \rightarrow \pi^*$	262	174	<i>B</i>
Acetophenone	Aromatic $\pi \rightarrow \pi^*$	240	13,000	<i>K</i>
	Aromatic $\pi \rightarrow \pi^*$	278	1,110	<i>B</i>
Phenol	$n \rightarrow \pi^*$	319	50	<i>R</i>
	Aromatic $\pi \rightarrow \pi^*$	210	6,200	E_2
	Aromatic $\pi \rightarrow \pi^*$	270	1,450	<i>B</i>

^aThe *R* band, German *radikalartig*; *K* band, German, *konjugierte*; *B* band, benzenoid; *E* band, ethylenic; see: A. Burawoy, *Berichte*, **63**, 3155 (1930); *J. Chem. Soc.*, 1177 (1939); also see the chapter by E. A. Braude listed in the reference section.

Absorption Characteristics of Five-Membered Heteroaromatics

Parent	Substituent ^a	Band I		Band II	
		λ_{\max} (nm)	ϵ_{\max}	λ_{\max} (nm)	ϵ_{\max}
Furan		200	10,000	252	1
Furan	2-CHO 	227	2,200	272	13,000
Furan	2-C(=O)CH ₃	225	2,300	270	12,900
Furan	2-CO ₂ H	214	3,800	243	10,700
Furan	2-NO ₂	225	3,400	315	8,100
Furan	2-Br, 5-NO ₂			315	9,600
Pyrrole		183		209	6,730
Pyrrole	2-CHO 	252	5,000	290	16,600
Pyrrole	2-C(=O)CH ₃	250	4,400	287	16,000
Pyrrole	2-CO ₂ H 	228	4,500	258	12,600
Pyrrole	1-C(=O)CH ₃ 	234	10,800	288	760
Thiophene		231	7,100		
Thiophene	2-CHO 	265	10,500	279	6,500
Thiophene	2-C(=O)CH ₃	252	10,500	273	7,200
Thiophene	2-CO ₂ H	249	11,500	269	8,200
Thiophene	2-NO ₂	268–272	6,300	294–298	6,000
Thiophene	2-Br	236	9,100		

^a2-CHO means a carboxaldehyde group at the 2-position of the ring.

Match the three steroid structures shown below to the following values for $\lambda_{\text{max}}^{\text{hexane}}$: Compound A, 275 nm; B, 304 nm, and C, 356 nm.

